

حل مسئله تناظر گراف توسعه اتوماتانهای یادگیر*

محمد رضا میبدی حمید بیگی

دانشکده مهندسی کامپیوتر

دانشگاه صنعتی امیر کبیر

تهران، ایران

(نسخه اولیه)

چکیده

مسئله تناظر گراف دارای کاربردهای بسیاری از جمله صحت مدارهای VLSI، صحت مدارهای PC-Board، معادل بودن دو برنامه، شناسایی الگو و بنای ماسیم میباشد. مسئله تناظر گراف در گروه مسائل NP قرار دارد بدین معنی که تاکنون الگوریتمی با پیچیدگی زمانی چند جمله ای برای حل این مسئله گزارش نشده است. در بسیاری از کاربردها، گراف ها دارای اختشاش میباشند و بطور دقیق با هم متناظر نیستند. در این حالت هدف پیدا کردن تناظریست که کمترین خطای را تولید نماید. این مسئله در گروه مسائل NP-Hard قرار دارد و دارای هزینه اجرایی از مرتبه نمایی میباشد. بدین دلیل محققین زیادی کوشش‌های فراوانی در جهت پیدا کردن الگوریتمی که دارای پیچیدگی زمانی کمتری باشد صرف کردند. در این راستا، الگوریتم های تقریبی زیادی از جمله از طریق پیدا نمودن بزرگترین Clique، روشهای Relaxation، آنالیز حبری، شبکه های عصی و الگوریتم های زنگیکی سرای حل مسئله تناظر دو گراف پیشنهاد شده است. این الگوریتم ها علیرغم تقریبی بودن جواب های قابل قبولی را تولید میکنند. با توجه به اینکه مسائل فوق، در گروه مسائل NP-Search در بهیه سازی ترکیبی قرار دارد پیدا کردن یک ابزار جستجو برای کاهاش پیچیدگی زمانی الگوریتم و تضمین صحت جواب امری لازم و ضروری میباشد. اتوماتانهای یادگیر یک ابزار جستجوی عمومی میباشند که برای حل تعادل از مسائل NP-Complete از جمله افزایشی، افزار گراف و بهینه سازی صفحه کلید بکار برده شده است. اتوماتان یادگیر از نوع مهاجرت اشیا یکی از انواع اتوماتانهای یادگیر میباشد. در این گزارش، چهار اتوماتان مهاجرت اشیا برای حل مسئله تناظر دو گراف ارائه شده است. تا آنجایی که نگارندگان این گزارش اگاهی دارند تاکنون استفاده از اتوماتانهای یادگیر برای حل این مسئله گزارش نشده است. الگوریتم های ارائه شده روی گراف های با اندازه و درصد اختشاش های متفاوت آزمایش شده اند و جواب های خوبی را تولید کرده اند. در حالتیکه گراف ها بدون اختشاش هستند جواب های تولید شده (در صورت همگرایی) کاملاً دقیق هستند. با توجه به نتایج شبه سازیها، الگوریتم های ارائه شده دارای متوسط پیچیدگی زمانی از مرتبه $O(n^3)$ هستند که بهمود قابل ملاحظه ای در مرتبه بزرگی حل این مسئله نشان میدهد.

کلمات کلیدی : تناظر گراف، تناظر گراف با تصحیح خطای اتوماتانهای مهاجرت اشیا، مسائل داتا مشکل

برای گراف‌بازه n نیاز به $O(n!)$ تناظر دارد. مسئله تناظر گراف^۱ دارای کاربردهای بسیاری است که بعضی از آنها عبارتند از: صحت مدارهای $VLSI$ ، صحت مدارهای PC-Board [۱۰]، [۱۱]، [۱۲]، معادل بودن دو

* قسمتی از این پژوهه با حمایت مالی مرکز تحقیقات فیزیک نظری - پژوهشکده سیستم های هوشمند انجام گردیده است.

1- Graph Isomorphism

۱- مقدمه

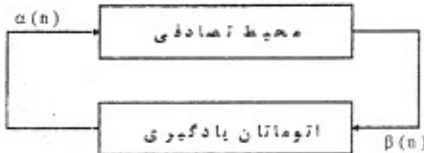
یک گراف بصورت زوج (V, E) نمایش داده میشود که V مجموعه گرهای گراف و E مجموعه کمانهای آن میباشد. دو گراف $G_1 = (V_1, E_1)$ و $G_2 = (V_2, E_2)$ را متناظر میگویند اگر تابع یک به یک و بواشا $f: V_1 \rightarrow V_2$ وجود داشته باشد که برای هر کیان $(u, v) \in E_1$ موجود در گراف G_1 ، کیان $(f(u), f(v)) \in E_2$ در گراف G_2 وجود داشته باشد. کلاس پیچیدگی این مسئله مشخص نیست اما متعلق به گروه مسائل NP است ولی هنوز تعلق آن به گروه مسائل NP-Complete ثابت نشده است و تاکنون الگوریتمی پیچیدگی زمانی چند جمله ای برای حل این مسئله گزارش نشده است. یک روش برای حل این مسئله استفاده از الگوریتم Backtracking میباشد که در بیان حالات

تا آنجایی که نگارندگان این گزارش اگاهی دارند تا کسون استفاده از اوتوماتنهای یادگیر برای حل این مسئله گزارش نشده است. الگوریتم های ارائه شده روی گراف های با اندازه و درصد اختشاش های متفاوت آزمایش شده اند و جواب های پسیار قابل قبولی را تولید کرده اند. در حالتیکه گراف های بدون اختشاش هستند جواب های تولید شده (در صورت همگرایی) کاملاً دقیق هستند. با توجه به نتایج سبیله سازیها، الگوریتم های ارائه شده دارای پیچیدگی زمانی متوسطی از مرتبه $O(n^3)$ هستند که بهبود قابل ملاحظه ای را در مرتبه بزرگی حل این مسئله نشان میدهد.

بخش های بعدی مقاله بصورت زیر سازماندهی شده است. اوتوماتنهای یادگیر در بخش ۲ آمده است. در بخش ۳ اوتوماتنهای و الگوریتم های پیشنهادی برای تناظر گراف ارائه شده است. در بخش ۴ نتایج شبیه سازیها و در پایان نتیجه گیری آمده است.

۲- اوتوماتنهای یادگیر

یادگیری در اوتوماتنهای یادگیر، انتخاب یک اقدام^۱ بهینه از میان یک مجموعه از اقدام های مجاز اوتوماتان میباشد. این اقدام روی یک محیط تصادفی اعمال میشود و محیط به این اقدام اوتوماتان بوسیله یک پاسخ تصادفی از مجموعه پاسخ های مجاز جواب میدهد پاسخ محیط بصورت آماری به اقدام اوتوماتان وابسته است. اصطلاح محیط شامل اجتماع تمام شرایط خارجی و تأثیرات آنها روی عملکرد اوتوماتان میباشد. یک محیط بصورت یک سه تایی $\{\alpha, \beta, \gamma\}$ نشان داده میشود. مجموعه، $\{a_1, a_2, \dots, a_n\} = \Phi$ مجموعه ورودیها، مجموعه $\{\alpha, \beta, \gamma\} = \Omega$ مجموعه احتمالات (۱۵) احتمال شکست اقدام a_i میباشد و مجموعه $\{\beta_1, \beta_2, \dots, \beta_m\} = \Psi$ خروجی دودویی محیط میباشد [۱۳]. اتصال یک اوتوماتان با محیط در شکل ۱ نشان داده شده است.



شکل ۱: اتصال اوتوماتان یادگیری با محیط

اوتوماتان های یادگیری به دو خانواده اوتوماتان یادگیری با ساختار ثابت^۲ و اوتوماتان یادگیری با ساختار متغیر^۳ دسته بندی میشوند. اوتوماتان های کرینسکی "وکرایلوف"^۴ مثالهایی از خانواده اوتوماتنهای با ساختار ثابت هستند. یک اوتوماتان یادگیری با ساختار ثابت را میتوان با یک پنج تایی $\{\alpha, \beta, \Phi, E, \Omega\}$ نشان داد. که $\alpha = \{a_1, a_2, \dots, a_n\} = \Phi$ مجموعه اقدام های مجاز برای اوتوماتان یادگیر، $\beta = \{\beta_1, \beta_2, \dots, \beta_m\} = \Psi$ مجموعه وضعیت های اوتوماتان، $E = \{0, 1\}$ مجموعه ورودیها (در این

برنامه [۱۷]، شناسایی الگو [۱۸] و بینایی ماشین [۲۱][۲۲]. مثلاً در کاربردهای بینایی ماشین، شی والتوسط دو گراف مختلف فضای انداده میشوند. پس از تبدیل اشیای گراف های متناظر، مسئله تشخیص اشیای بهیدا کردن تناظر بین دو گراف تبدیل میشود در شناسایی اشیای ممکن است دو گراف هم اندازه باشند. در این حالت هدف بزرگترین زیر گرافی در گراف بزرگتر است بطوریکه این زیر گراف بزرگتر کوچکتر متناظر باشد. با این مسئله، تناظر بزرگ گراف^۵ میگویند. این مسئله متعلق به گروه مسائل Hard-NP میباشد و دارای پیچیدگی از مرتبه نمایی میباشد.

در بسیاری از کاربردها، گراف های دارای اختشاش^۶ میباشند و دو گراف بطور دقیق با هم متناظر نمیباشند. یعنی ممکن است هم تعداد گره های دو گراف و هم کمانهای آنها با هم متفاوت باشند. در اینحال، هدف پیدا نمودن تناظری است که کمترین خطای را تولید نماید که به این تناظر، تناظر بهینه میگویند و به مسئله پیدا کردن تناظر بهینه دو گراف غیر متناظر، تناظر گراف با تصحیح خطای^۷ گفته میشود [۲۱][۲۲]. این مسئله در گروه مسائل NP-Hard قرار دارد و دارای پیچیدگی از مرتبه نمایی میباشد.

با توجه به اینکه مسائل فوق در گروه مسائل دانا مشکل^۸ قرار دارند و زمان حل آنها با افزایش اندازه مسئله بصورت نمایی افزایش پیدا میکند. لذا هدف، پیدا کردن الگوریتمی است که دارای پیچیدگی زمانی کمتری باشد. در این راستا، الگوریتم های بسیاری پیشنهاد شده اند. هر چند این الگوریتم ها تقریبی^۹ هستند اما جواب های قابل قبولی را در مقایسه با الگوریتم های دقیق تولید میکنند. بعضی از این الگوریتم ها عبارتند از: پیدا کردن تناظر از طریق پیدا نمودن بزرگترین Relaxation [۲۰]، روش های Clique [۲۱]، جستجوی درخت [۴]، آسالیز جبری [۲۰]، شبکه های عصبی [۲]، الگوریتم های زنگنیکی [۲۰][۲۱] و الگوریتم های تصادفی [۲۲].

با توجه به اینکه مسائل فوق، در گروه مسائل NP-Search در بهینه سازی ترکیبی^{۱۰} قرار دارد پیدا کردن یک ابزار جستجو برای کاهش پیچیدگی زمانی الگوریتم و تضمین صحت جواب (پیدا کردن جواب بهینه) امری لازم و ضروری میباشد. اوتوماتنهای یادگیر یک ابزار جستجوی عمومی میباشد که برای حل تعدادی از مسائل NP-Complete از جمله افزار آشیا [۱۴]، افزار گراف [۱۵]، بهینه سازی صفحه کلید [۱۶] و پیدا کردن ساختار بهینه شبکه عصبی [۲۲] بکار برده شده است. اوتوماتان یادگیر از نوع مهاجرت اشیا^{۱۱} یک نوع از اوتوماتنهای یادگیر میباشد. در این اوتوماتان، آشیا روی وضعیت های مختلف اوتوماتان قرار میگیرند و با حرکت آشیا (در این گزارش، گره های گراف) تناظر های مختلف ایجاد میشود و با جستجو در فضای ایجاد شده میتوان تناظر بهینه را پیدا نمود. در این گزارش، چهار اوتوماتان یادگیر از مهاجرت اشیا برای حل مسئله تناظر دو گراف ارائه شده است.

1- Subgraph Isomorphism

2- Noise

3- Error-Correcting Graph Isomorphism

4- Intractable Problems

5- Approximate Algorithms

6- Combinatorial Optimization

7- Object Migrating Automata (OMA)

- 8- Action
- 9- Fixed Structure Learning Automata (FSLA)
- 10- Variable Structure Learning Automata (VSLA)
- 11- Krinsky Automata
- 12- Krylov Automata

خروجی در نظر گرفت. اگر دو شی w_i و w_j بترتیب در وضعیت های $\Phi_{(k-1)N+m}$ و $\Phi_{(k-1)N+m+1}$ (برای $m > 1$) قرار داشته باشند در اینصورت قطعیت تعلق شی w_i به این دسته از قطعیت تعلق شی w_j بیشتر است. بنابراین پس از خروجی w_i ، وضعیت $\Phi_{(k-1)N+m+1}$ ، وضعیت $\Phi_{(k-1)N+m+2}$ بیشترین قطعیت و وضعیت $\Phi_{(k-1)N+m+3}$ ، وضعیت باکترین قطعیت نامیده میشود.

۳- اتماتان یادگیر تعیین تناظر بین دو گراف

در این قسمت چهار اتماتان از نوع مهاجرت اشیاء برای حل مسئله تناظر دو گراف معروفی میگردد. وظیفه این اتماتانها، دسته بندی گره های گراف است بطوریکه با این دسته بندی کمترین خطای تولید گردد. در ابتدا به روشهای ساختن گراف های تصادفی و جگونگی محاسبه اختلاف بین دو گراف میپردازیم و در ادامه به ارائه اتماتانهای پیشنهادی میپردازیم.

۳-۱-۳- ساختن گرافهای تصادفی

معمولا برای ساختن یک گراف تصادفی با تعداد گره های مشخص از یکی از دوروش زیر استفاده میشود. روش اول از یک عدد تصادفی برای مشخص نمودن وجود یا عدم وجود یک کمان در گراف استفاده میکند. روش دوم با یک تعداد کمان مشخص شروع میکند و بصورت تصادفی این کمانها را بین گره های مختلف قرار میدهد. در این مقاله از روش اول برای ساختن گرافها استفاده شده است.

یک گراف با وزن و جهت دار G را میتوان بصورت زوج $G = (V(G), W(G))$ نشان داد که در آن $V(G)$ مجموعه گره های گراف و $W(G)$ ماتریس همچواری گراف میباشد. در صورتیکه $0 < W(G) < I$ باشد کمانی از گره A به گره B با وزن $W_{AB}(G)$ وجود دارد. گراف های بدون جهت، دارای ماتریس همچواری، متقارن میباشد. جایگشت های مختلف^۴ سطرها (در نتیجه ستونهای متاظر) در ما ترتیب همچواری باعث تغییر ترتیب برچسب گره های گراف H یک جایگشت از برچسب گره های گراف G باشد یعنی دو ماتریس همچواری $W(H)$ و $W(G)$ از طریق رابطه زیر بهم نگاشت داده میشوند^[۸].

$$(1) \quad W(H) = P \cdot W(G) \cdot P^T$$

که P ماتریس جایگشت میباشد. در هر سطر (ستون) این ماتریس تنها یک عدد ۱ وجود دارد و بقیه عناصر این سطر (ستون) صفر هستند. عضو P_{ji} از ماتریس P نشاندهنده نگاشت گره v_i از گراف G به گره v_j از گراف H میباشد. براساس مقدار ماتریس P ، نگاشت $\sigma: V(G) \rightarrow V(H)$ از صورت زیر تعریف میگردد.

$$(2) \quad \sigma = \{(v_i, v_j) \mid P_{ji} = 1, v_i \in V(G), v_j \in V(H)\}$$

$$\forall i, j = 1, 2, \dots, n$$

برای مثال اگر نگاشت σ بصورت $\sigma = \{(A, b), (B, d), (C, c), (D, a)\}$ باشد ماتریس جایگشت بصورت زیر خواهد شد.

مجموعه یک نمایانگر شکست^۱ و صفر نمایانگر موفقیت^۲ میباشد، $\Phi \times \beta \rightarrow \Phi$ تابع نگاشت وضعیت ها و $\alpha \rightarrow \Phi$ تابع نگاشت خروجی میباشد.

اقدام اتوماتان بعنوان ورودی به محیط داده میشود و محیط بعد از اعمال اقدام داده شده توسط اتوماتان یک پاسخ تصادفی که میتواند نشاندهنده موفقیت یا شکست اقدام اقدام شده باشد را تولید میکند که بعنوان ورودی به اتوماتان داده میشود. اتوماتان با توجه به پاسخ محیط اقدام مربوطه را جریمه میکند و میباشد آن باداش میدهد. اگر احتمال تغییر وضعیت ها در اتماتان ثابت باشد آنرا اتماتان یادگیری با ساختار ثابت و در غیر اینصورت آنرا اتماتان یادگیری با ساختار متغیر مینامند.

اتوماتانهای یادگیرداری کاربردهای فراوانی میباشند بعضی از این کاربردها عبارتند از: مسیریابی در شبکه های ارتباطی^[۹]، فشرده سازی تصاویر^[۵]، شناسایی الگو^[۱۰]، برنامه ریزی فرایندها^[۱۱]، دریک شبکه کامپیوتری^[۱۲]، تئوری صفت^[۱۲]، کنترل دسترسی در شبکه های انتقال ناهمزن^[۱۱]، کمک به آموزش شبکه های عصبی^[۱۱]، دسته بندی و افزار اشیاء^[۱۲]، پیدا کردن ساختار پوینده برای شبکه های عصبی^[۲۳].

برای یک گراف با اندازه n نگاشت مختلف وجود دارد و در صورتیکه از اتماتانهای یادگیر برای پیدا نمودن تناظر دو گراف استفاده شود اتماتان باید n اقدام داشته باشد که تعداد زیاد اقدام ها سرعت همگرایی اتماتان را کم میکند بهمین جهت اتماتان مهاجرت اشیاء^۵ توسط / ومن^۶ و ما^۷ پیشنهاد شده است^[۱۴].

اتوماتان مهاجرت اشیاء: اتماتان مهاجرت اشیاء توسط پنج تابی $\{G, \Phi, \beta, E, G\}$ نشان داده میشود^[۱۴]، $\{\alpha_1, \alpha_2, \dots, \alpha_m\}$ مجموعه اقدام های مجاز، $\{\Phi_1, \Phi_2, \dots, \Phi_m\}$ مجموعه وضعیت های اتماتان، $\{\beta = 0, 1\}$ مجموعه ورودیها، $\Phi: \Phi \times \beta \rightarrow \Phi$ تابع نگاشت وضعیت ها و $\alpha: \Phi \rightarrow \alpha$ تابع نگاشت خروجی میباشد. این نوع اتماتان برای دسته بندی اشیاء^[۱۴]، انتساب حروف به کلیدهای^[۱۵] و افزار گراف^[۱۶] مورد استفاده قرار گرفته است.

در این اتماتان هر اقدام یک دسته را نشان میدهد. در اتوماتانهای با ساختار ثابت پاسخ محیط به اتماتان سبب میشود که اتماتان از یک وضعیت به وضعیت دیگر منتقل شود در صورتیکه در اتماتان مهاجرت اشیاء، اشیاء به وضعیت ها انتساب داده میشوند و پاسخ محیط به اتماتان سبب گردش اشیاء در بین وضعیت های اتماتان میگردد و از طریق این گردش دسته بندی اشیاء انجام میگیرد.

اگر شی W_i در خروجی رام اتماتان مهاجرت اشیاء قرار داشته باشد این شی متعلق به دسته شماره Z است. برای خروجی α_k مجموعه وضعیت $\{\Phi_{k-1}, \dots, \Phi_{kN}\}$ در نظر گرفته میشود که N عمق حافظه را نشان میدهد. بدون از دست دادن عمومیت بحث میتوان $\Phi_{(k-1)N+1}, \dots, \Phi_{kN}$ را داخلی ترین وضعیت و Φ_{kN} را خارجی ترین وضعیت این

1- Unfavorable

2- Favorable

3- Process

4- Asynchronous transfer mode (ATM)

5- Object Migrating Automata (OMA)

6- Oommen

7- Ma

8- Graph Partitioning

گرفته باشد در اینصورت گره w_m از گراف G با گره H متناظر است.

-۳ حافظه برای اوتوماتان میباشد. مجموعه وضعیت های این اوتوماتان به K زیر مجموعه $\Phi = \{\Phi_1, \Phi_2, \dots, \Phi_{KN}\}$ مجموعه وضعیت ها و N عمق افزا افزار مبیشود و گره های گراف براساس اینکه در کدام Φ_{KN} , ..., Φ_{N+1} , ..., Φ_1 قرار داشته باشد دسته بندی میگردد. اگر گره w از گراف G در مجموعه وضعیت های $\{\Phi_{(j-1)N+1}, \dots, \Phi_N\}$ قرار داشته باشد در اینصورت گره w از گراف G با گره w_i از گراف H متناظر است. در مجموعه وضعیت های اقدام a وضعیت $\{\Phi_{(j-1)N+1}, \dots, \Phi_N\}$ را وضعیت $\{\Phi_{(j-1)N+1}, \dots, \Phi_{j-1}\}$ را وضعیت مرزی مینامیم و گرهی را که در وضعیت $\{\Phi_{(j-1)N+1}, \dots, \Phi_{j-1}\}$ قرار دارد را گره با اهمیت بیشتر و گرهی را که در وضعیت $\{\Phi_{(j-1)N+1}, \dots, \Phi_N\}$ قرار دارد را با اهمیت کمتر نامیده میشود.

-۴ مجموعه ورودیهای اوتوماتان میباشد. در این مجموعه یک نماینگر شکست و صفر نماینگر موقوفیت میباشد.

-۵ $F: \Phi \times \beta \rightarrow \Phi$: تابع نگاشت وضعیت ها میباشد. این تابع از روی وضعیت فعلی و ورودی اوتوماتان وضعیت بعدی آنرا تولید می نماید. در واقع این تابع چگونگی گردش گره های گراف را در وضعیت های اوتوماتان مشخص میکند. این تابع برای اوتوماتنهای مختلف متفاوت میباشد که شرح کارکرد آن برای اوتوماتنهای مختلف در قسمت بعد خواهد آمد.

-۶ $\Phi \rightarrow \alpha$: تابع نگاشت خروجی میباشد. این تابع تصمیم میگیرد که به ازای هر وضعیت، اوتوماتان چه اقدامی را انجام دهد. در اگر اینصورت گره w از گراف G در مجموعه وضعیت های $\{\Phi_{(j-1)N+1}, \dots, \Phi_N\}$ قرار داشته باشد در اینصورت اقدام زنتخاب میگردد (گره w از گراف G با گره w_i از گراف H متناظر است). در ادامه شرح کارکرد تابع نگاشت وضعیت برای اوتوماتنهای مختلف بیان میگردد.

۳-۱-۱: اوتوماتان مهاجرت اشیا با اتصال های مشابه اوتوماتان Tsetline

این اوتوماتان از اتصال های مشابه اوتوماتان Tsetline [۱۲] برای حالت پاداش استفاده میکند و برای سهولت در ارائه مطلب، اوتوماتان با K اقدام، عمق حافظه N که برای تناظر دو گراف با اندازه n استفاده شده است توسط Tsetline-Gf(K, N, n) نمایش داده میشود. برای تشریح تابع نگاشت وضعیت ها دو حالت زیر را در نظر میگیریم.

-۱ اگر گره w از گراف G در یکی از وضعیت های $\{\Phi_{(j-1)N+1}, \dots, \Phi_N\}$ قرار داشته باشد و خطای تناظر بین گره w از گراف G و گره w_i از گراف H از مقدار آستانه ($J_{\sigma}(G)$) مقدار آستانه بصورت تطبیقی مشخص میگردد و مقدار آن در هر لحظه برای استفاده از میانگین خطای نگاشت برای تعاملی گره ها) کوچکتر باشد به این گره پاداش داده میشود و اهمیت این گره بیشتر شده و بهمسمت وضعیت های داخلی تر این اقدام حرکت میکند. نحوه حرکت چنین گرهی در شکل زیر نشان داده شده است.

$$P = \begin{bmatrix} 0 & 0 & 0 & 1 \\ 1 & 0 & 0 & 0 \\ 0 & 0 & 1 & 0 \\ 0 & 1 & 0 & 0 \end{bmatrix}$$

با استفاده از نگاشت σ ، خطای نگاشت دو گراف G و H را بصورت زیر تعریف میکیم.

$$J(\sigma) = \|W(H) - P \cdot W(G) \cdot P^T\| \quad (3)$$

که $\| \cdot \|$ نرم ماتریس (هر نوع نرم) میباشد. بنابراین مسئله پیدا کردن تناظر بین دو گراف به حل معادله $J(\sigma) = 0$ تبدیل میشود. زمانیکه دو گراف بطور دقیق با هم متناظر نباشند (تناظر دو گراف با تصحیح خطای مسئله پیدا کردن تناظر بین دو گراف به پیدا کردن کمینه تابع $J(\sigma)$ تبدیل میگردد. برای گراف با اندازه n محاسبه $J(\sigma)$ نیاز به زمانی از مرتبه $\Theta(n^3)$ دارد. برای کم کردن زمان محاسبه $J(\sigma)$ ، میتوان نشان داد که تحت نگاشت σ رابطه زیر برقرار است.

$$\|P \cdot W(G) \cdot P^T\|_{i,j} = \|W(G)\|_{\sigma(i), \sigma(j)} \quad (4)$$

که $[A]_{ij}$ عضو سطر i و ستون j ماتریس A میباشد. اگر در رابطه (3) از نرم $\| \cdot \|_1$ باشد $\|W\| = \sum_i \sum_j |W_{i,j}|$ استفاده کیم شکل ساده تری برای محاسبه مقدار اختلاف بین دو گراف G و H بدست میابد. برای این منظور خطای نگاشت گره k از گراف G به گره $\sigma(k)$ از گراف H بصورت زیر تعریف میشود.

$$J_k(\sigma) = \sum_{m=1}^n \left| [W(H)]_{k,m} - [W(G)]_{\sigma(k), \sigma(m)} \right| + \sum_{m=1}^n \left| [W(H)]_{m,k} - [W(G)]_{\sigma(m), \sigma(k)} \right| \quad (5)$$

در صورتیکه گراف بدون جهت باشد خطای نگاشت گره k برای است با

$$J_k(\sigma) = 2 \times \sum_{m=1}^n \left| [W(H)]_{k,m} - [W(G)]_{\sigma(k), \sigma(m)} \right| \quad (6)$$

و درنتیجه خطای تناظر دو گراف برای نگاشت σ بصورت زیر تعریف میگردد.

$$J(\sigma) = \sum_{k=1}^n J_k(\sigma) \quad (7)$$

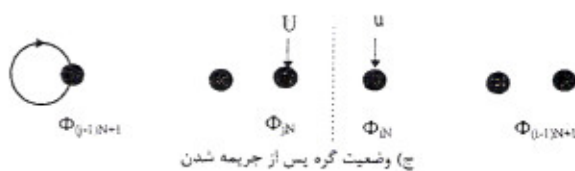
با توجه به معادلات فوق روشی است که محاسبه $J(\sigma)$ نیاز به زمانی از مرتبه $\Theta(n^2)$ دارد.

۳-۲-۳-۱: اوتوماتانهای یادگیر برای تناظر دو گراف

اوتوماتان یادگیر برای تعیین تناظر گراف را میتوان بصورت یک شش تابی $\langle V, \alpha, \Phi, \beta, E, G \rangle$ نشان داد که در آن

$V = \{V_1, V_2, \dots, V_n\}$ مجموعه گره های گراف $G = (V_G, W_G)$ میباشد. این گره ها روی وضعیت های مختلف اوتوماتان حرکت میکند و با حرکت خود تناظرهای مختلف اوتوماتان حرکت میکنند.

-۲ یادگیر مجموعه اقدام های مجاز برای اوتوماتان $\alpha = \{\alpha_1, \alpha_2, \dots, \alpha_K\}$ است. این اوتوماتان K اقدام دارد (تعداد اقدام های این اوتوماتان با تعداد گره های گراف برابر است) اگر گره w از گراف G در اقدام m قرار



شکل ۴ (دامنه): نحوه جریمه شدن یک گره

با استفاده از اوتوماتان فوق الگوریتمی بصورت زیر برای تضاد دو گراف ارائه شده است.

```
procedure Reward (u)
```

```
    if (State (u) - 1) mod N < 0 then
        dec (State (u))
    end if
end Reward
```

```
procedure Penalize (u)
```

```
    if State (u) mod N < 0 then
        inc (State (u))
    else
        bestError = ∞
        for U = 1 to |V_G| do
            Create mapping σ' from σ by swapping u and U
            if J_U(σ') < bestError then
                bestError = J_U(σ')
                bestNode = U
            end if
        end for
        State (bestNode) = Action (bestNode) * N
        Swap (State (u), State (bestNode))
    end if
end Penalize
```

```
function GraphIsomorphism (G, H)
```

```
    Create an automaton Tsetline-GI (|V_G|, N, |V_G|)
    Create a random mapping σ, such that every node u ∈ V_G is assigned into one action of Tsetline-GI (|V_G|, N, |V_G|)
    repeat
```

```
        for m = 1 to n do
```

```
            J_m (σ) = 2 ×  $\sum_{k=1}^n [W_G(\sigma(k), \sigma(m)) + W_G(k, m)]$ 
        end for

```

```
        u = Select (random (M)) // random number in range [1, M]
```

```
        if J_u(σ) < T then
```

```
            Reward (u)
        else

```

```
            Penalize (u)
        end if
    until J (σ) = 0
    return σ
end GraphIsomorphism
```

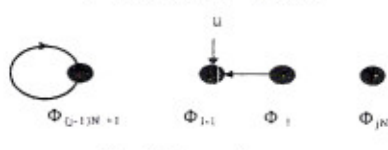
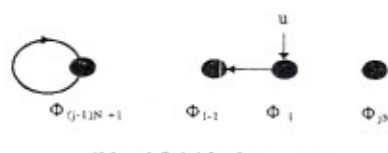
شکل ۵: الگوریتم تضاد گراف با استفاده از اوتوماتان یادگیر

- تابع Select (m) برچسب گره ای (u) را بعنوان جواب بر میگرداند که مقدار خطای نگاشت این گره (J_u(σ)) m امین مقدار بزرگ را در مجموعه خطاهای نگاشت ها دارا باشد. این تابع بصورت زیر میباشد.

```
function Select (m)
```

```
    Select node u such that J_u(σ) is mth largest element in the set
    [J_1(σ), J_2(σ), ..., J_n(σ)]
    return u
end Select
```

شکل ۶: الگوریتم انتخاب m امین خطای بزرگ

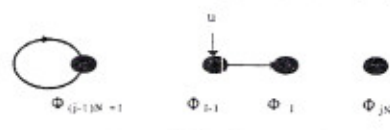


شکل ۲: نحوه دادن پاداش به یک گره

اگر گره u در وضعیت $\Phi_{(j-1)N+1}$ قرار داشته باشد و پاداش بگیرد در همان وضعیت باقی میماند.

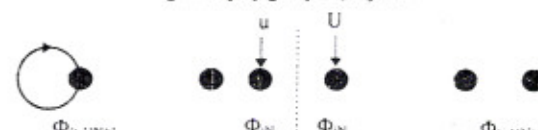
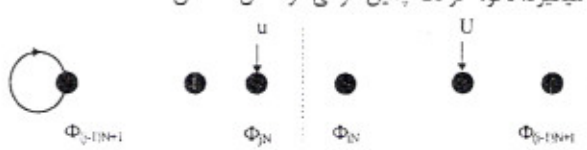
۱-۲-۱) اگر گره u از گراف G با درمجموعه وضعیت های $\{\Phi_{(j-1)N+1}, \dots, \Phi_{jN}\}$ قرار داشته باشد و $(\sigma)_u$ از مقدار آستانه بزرگتر باشد در اینصورت تضاد برقرار شده مناسب نیست و این گره جریمه میشود نحوه حرکت چنین گرهی برای دو حالت مختلف در زیر آمده است.

(الف) گره u از گراف G در مجموعه وضعیت های $\{\Phi_{(j-1)N+1}, \dots, \Phi_{jN-1}\}$ قرار دارد. جریمه نمودن این گره سبب کم شدن اهمیت این گره میشود. نحوه حرکت چنین گرهی در شکل زیر نشان داده شده است.



شکل ۳: نحوه جریمه شدن یک گره

(ب) گره u از گراف G در وضعیت Φ_{jN} قرار دارد. در این حالت گره u از گراف G را بسیار میکنیم بطوریکه اگر در نگاشت σ جای u و U عوض شوند بیشترین کاهش در مقدار خطای حاصل گردد. در اینصورت اگر گردد u در وضعیت مرزی قرار داشته باشد چگونه u و U عوض میشود و در غیر اینصورت ابتدا u به وضعیت مرزی اقدام خود منتقل و سپس جایگایی صورت میگیرد. نحوه حرکت چنین گرهی در شکل ۵ نشان داده شده است.



شکل ۴: نحوه جریمه شدن یک گره

جريمه میشود نحوه جریمه شدن این گره مانند جریمه شدن گره در اتوماتان $Tsetline-GI(K, N, n)$ میباشد.

۲- اگر گره u از گراف G در وضعیت Φ_1 از مجموعه $\{\Phi_{(j-1)N+1}, \dots, \Phi_{jN}\}$ باشد و $(\sigma)_j$ از مقدار آستانه ای کوچکتر باشد به این گره پاداش داده میشود. اگر گره u در وضعیت $\Phi_{(j-1)N+1}$ قرار داشته باشد با احتمال $1/5$ به وضعیت $\Phi_{(j-1)N+2}$ و با احتمال $1/5$ در همین وضعیت باقی میماند. اگر گره u در وضعیت Φ_{jN} قرار داشته باشد با احتمال $1/5$ به وضعیت Φ_{jN+1} و با احتمال $1/5$ در نظر میگیریم.

۳- اگر گره u در وضعیت Φ_{jN+1} باشد و $(\sigma)_j$ از مقدار آستانه ای کوچکتر باشد به این گره پاداش داده میشود. در شکل زیر الگوریتم دادن پاداش به گره u نشان داده شده است.

```

procedure Reward (u)
  if random > 0.5 then
    if (State (u) - 1) mod N <> 0 then
      dec (State (u))
    end if
  else
    if State (u) mod N <> 0 then
      inc (State (u))
    else
      Penalize (u)
    end if
  end if
end Reward
  
```

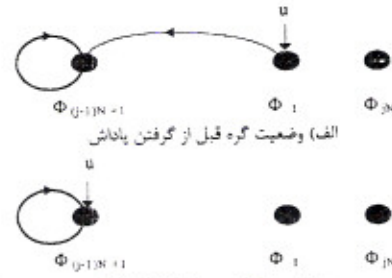
شکل ۹: نحوه دادن پاداش به گره u

یک راه خوب برای افزایش احتمال همگرایی الگوریتم تناظر گراف این است که اگر اندازه مسئله از مقدار مشخصی کوچکتر باشد بجای انتخاب تصادفی یک گره از الگوریتم قطعی برای انتخاب استفاده گردد. در الگوریتم های ارائه شده در این گزارش، گرهی انتخاب میگردد که بیشترین خطای را تولید نماید.

۴-۲-۳: اتوماتان مهاجرت اشیا با اتصال های مشابه اتوماتان

Krinsky این اتوماتان از اتصال های مشابه اتوماتان Krinsky [۱۲] برای حالت پاداش استفاده میکند و برای سهولت در ارائه مطالب، اتوماتان با K اقدام، عمق حافظه N که برای تناظر دو گراف با اندازه n استفاده شده است توسط $Krinsky-GI(K, N, n)$ نام گذاری شده است. برای تشریح تابع نگاشت وضعیت ها دو حالت زیر را در نظر میگیریم.

۱- اگر گره u از گراف G در مجموعه $\{\Phi_{(j-1)N+1}, \dots, \Phi_{jN}\}$ قرار داشته باشد و $(\sigma)_j$ از مقدار آستانه ای کوچکتر باشد به این گره پاداش داده میشود. نحوه حرکت چنین گرهی در شکل زیر نشان داده شده است.



شکل ۱۰: نحوه دادن پاداش به یک گره

در این اتوماتان، در هنگام پاداش با جریمه همه واحده اتوماتان حرکت میکند. یک اتوماتان AMO با K اقدام و عمق حافظه N که برای تناظر گراف بالاندازه n استفاده شده است توسط $AMO-GI(K, N, n)$ نمایش داده میشود. برای تشریح تابع نگاشت وضعیت ها در حالت زیر را در نظر میگیریم.

۱- اگر گره u از گراف G در وضعیت Φ_1 قرار داشته باشد و $(\sigma)_1$ از مقدار آستانه کوچکتر باشد به این نگاشت پاداش داده میشود و همه گره ها بسمت وضعیت های داخلی تر حرکت میکند. اگر گرهی در داخلی ترین وضعیت اقدام خود باشد در همان وضعیت باقی میماند. الگوریتم حرکت گره ها در شکل زیر آمده است.

```

procedure Reward (u)
  for U = 1 to | V_G | do
    if (State (U) - 1) mod N <> 0 then
      dec (State (U))
    end if
  end for
end Reward
  
```

شکل ۱۱: پاداش دادن به همه گره ها

۲- اگر گره u از گراف G در وضعیت Φ_1 قرار داشته باشد و $(\sigma)_1$ از مقدار آستانه کوچکتر باشد نگاشت جریمه میشود و همه گره ها مستحبت های مرزی حرکت میکند. این حرکت انقدر ادامه پیدا میکند تا حداقل یک گره در وضعیت مرزی قرار گیرد. در اینصورت حالت گره u از گراف G را به صورتی پیدا میکنیم که اگر در نگاشت های u و u عوض شوند بیشترین کاهش در مقدار خطا حاصل گردد. در اینصورت اگر گره u در وضعیت مرزی قرار داشته باشد جای u و u عوض میشود و در غیر

procedure Reward (u)
 State (u) = (Action (u) - 1) * N
end Reward

شکل ۱۱: نحوه دادن پاداش به گره u

۱- اگر گره u از گراف G در مجموعه وضعیت های $\{\Phi_{(j-1)N+1}, \dots, \Phi_{jN}\}$ قرار داشته باشد و $(\sigma)_j$ از مقدار آستانه ای بزرگتر باشد در اینصورت گره u جریمه میشود. نحوه جریمه شدن این گره همانند جریمه شدن گره در اتوماتان $Tsetline-GI(K, N, n)$ میباشد.

۴-۲-۴: اتوماتان مهاجرت اشیا با اتصال های مشابه اتوماتان

Krylov اتصال های این اتوماتان در حالت موقتی مشابه اتصال های اتوماتان Krylov [۱۳] برای حالت شکست میباشد. برای سهولت در ارائه مطالب، اتوماتان با K اقدام، عمق حافظه N که برای تناظر دو گراف با اندازه n استفاده شده است توسط $Krylov-GI(K, N, n)$ نمایش داده میشود. برای تشریح تابع نگاشت وضعیت ها دو حالت زیر را در نظر میگیریم.

۱- اگر گره u از گراف G در مجموعه وضعیت های $\{\Phi_{(j-1)N+1}, \dots, \Phi_{jN}\}$ قرار داشته باشد و $(\sigma)_j$ از مقدار آستانه بزرگتر باشد در اینصورت گره u

```

function ErrorCorrectingGraphIsomorphism (G, H)
  Create an automaton Tsetline-GI ( $|V_G|, N, |V_G|$ )
  Create a random mapping  $\sigma$ , such that every node  $u \in V_G$  is
  assigned into one action of Tsetline-GI ( $|V_G|, N, |V_G|$ )
  repeat
    for  $m = 1$  to  $n$  do
       $J_n(\sigma) = 2 \times \sum_{m=1}^n [W_0(\sigma(k), \sigma(m)) - W_0(k, m)]$ 
    end for
     $u = \text{Select (random)}(M)$  // random number in range [1,
    M]
    if  $J_u(\sigma) < T$  then
      Reward ( $u$ )
    else
      Penalize ( $u$ )
    end if
  until  $J(\sigma) = 0$  or for a long period  $J(\sigma)$  is constant
end ErrorCorrectingGraphIsomorphism

```

شکل ۱۲: الگوریتم تناظر دو گراف با تصحیح خطای

۴- نتایج شبیه سازیها

در این بخش الگوریتم های فوق روی گراف های مختلف و با اندازه های متفاوت آزمایش شده اند و نتایج آن در جداول زیر آمده است. در این گزارش از روش اول برای ساختن گراف تصادفی با وزن و بدون جهت G استفاده شده است که در آن اعداد تصادفی در فاصله [۰, ۹۹] عنوان وزن هر کمان اختصاص داده میشود و وزن صفر معنای عدم وجود کمان میباشد. با تغییر تصادفی برچسب n گره از گراف G، گراف H تولید میگردد. در تمامی آزمایشها زیر، هر الگوریتم روی ۱۰ گراف یکسان اجرا شده است تا توزیع زمان اجرای الگوریتم ها مشخص گردد. مقدار متوسط زمان اجرای الگوریتم ها و تعداد اجرای هایی که همگرا شده اند در جداولهای ۱ الی ۴ آورده شده است. در این آزمایشها مقدار آستانه بصورت تطبیقی مشخص میگردد و مقدار آن در هر لحظه برابر است با میانگین خطای نگاشت برای همه گره ها. برای تولید گرافهای دارای اغتشاش، وزن هر کمان را با عددی تصادفی در فاصله [-X, X] جمع میشود که X درصد اغتشاش میباشد.

اینصورت ابتدا U به وضعیت مرزی اقدام خود منتقل و سپس جایگایی صورت میگیرد. نحوه حرکت چنین گرهی در شکل زیر نشانده شده است.

```

procedure Penalize (u)
repeat
  for  $U = 1$  to  $|V_G|$  do
    if State (U) mod N  $\leftrightarrow 0$  then
      inc (State (U))
    end if
  end for
  until at least one node appears in the boundary state
bestError =  $\infty$ 
for  $U = 1$  to  $|V_G|$  do
  Create mapping  $\sigma'$  from  $\sigma$  by swapping u and U
  if  $J_U(\sigma') < \text{bestError}$  then
    bestError =  $J_U(\sigma')$ 
    bestNode = U
  end if
end for
State (bestNode) = Action (bestNode) * N
State (u) = Action (u) * N
Swap (State (u), State (bestNode))
end Penalize

```

شکل ۱۱: نحوه جریمه کردن گره u

۳-۳: استفاده از اتماتانهای یادگیر از نوع مهاجرت اشیا برای تناظر دو گراف با تصحیح خطای: همه الگوریتم های فوق را میتوان برای گراف های دارای اغتشاش بکار برد تنها با این تفاوت که شرط پایان را باید بصورتی مشخص نماییم که زمان اجرای الگوریتم پس از پیدا نمودن تناظر بهینه محدود باشد. با توجه به اینکه اتماتانهای یادگیر یک ابزار جستجوی عمومی میباشد بنابراین احتمال گرفتاری آنها در حدائق های محلی بسیار کم (و در بیشتر موارد غیر ممکن) میباشد زیرا از اطلاعات محلی برای پیدا نمودن جواب بهینه استفاده نمیکند. بنابراین اگر مدت زیادی الگوریتم نتواند جواب را تغییر دهد این جواب بمترله جواب بهینه است. شکل زیر الگوریتم پیدا نمودن تناظر دو گراف با تصحیح خطای را نشان میدهد.

جدول ۱: تناظر دو گراف برای ده اجرای مختلف توسط

تعداد اجرای همگرانشده						متوسط تعداد تکرار الگوریتم						عمق اندازه گراف
۹	۷	۵	۳	۱	۹	۷	۵	۳	۱	۹	۷	
۱	۱	۰	۰	۰	۱۱۱	۱۰۱	۱۸۹	۱۳۱	۸۰	۲۰۱	۱۰۰	
۰	۰	۰	۰	۰	۸۷	۱۱۲	۱۰۷	۱۲۴	۱۶۶	۳۰	۱۰۰	
۰	۰	۰	۰	۰	۱۴۴	۱۴۶	۹۵	۱۷۹	۷۰	۴۰	۱۰۰	
۰	۰	۰	۰	۰	۱۲۹	۱۱۲	۸۹	۷۹	۵۲	۵۰	۱۰۰	
۰	۰	۰	۰	۰	۱۵۰	۱۲۰	۱۱۳	۸۰	۶۹	۶۰	۱۰۰	
۰	۰	۰	۰	۰	۲۱۵	۱۶۸	۱۷۴	۱۱۴	۸۹	۷۰	۱۰۰	
۰	۰	۰	۰	۰	۱۹۹	۱۶۱	۱۴۹	۱۱۴	۸۴	۸۰	۱۰۰	
۰	۰	۰	۰	۰	۲۲۷	۱۸۲	۱۵۵	۱۲۲	۹۵	۹۰	۱۰۰	
۰	۰	۰	۰	۰	۲۷۸	۲۱۶	۱۸۵	۱۴۹	۹۸	۱۰۰	۱۰۰	
۰	۰	۰	۰	۰	۲۸۲	۲۴۱	۲۱۲	۱۶۱	۱۱۹	۱۱۰	۱۰۰	
۰	۰	۰	۰	۰	۲۶۲	۲۴۱	۱۹۲	۱۴۴	۱۰۰	۱۲۰	۱۰۰	

جدول ۲: تناظر دو گراف برای ده اجرای مختلف توسط AMO-GI (K, N, n)

تعداد اجراهای همگرا نشده						متوجه تعداد تکرار الگوریتم						عمق اندازه گراف
۹	۷	۵	۳	۱	۹	۷	۵	۳	۱	۹	۷	
۲	۲	۲	-	-	۱۷۴	۱۷۵	۱۳۲	۱۱۲	۱۸۱	۱۷۴	۱۳۲	۲۰
-	-	-	-	-	۱۱۹	۱۳۹	۱۵۴	۲۱۳	۴۹۲	۱۳۹	۱۵۴	۲۰
-	-	-	-	-	۳۹	۳۴	۲۴	۲۸	۲۴	۳۴	۲۴	۲۰
-	-	-	-	-	۲۶	۲۵	۲۶	۲۶	۲۵	۲۶	۲۶	۵۰
-	-	-	-	-	۵۹	۵۹	۶۱	۵۶	۵۷	۵۹	۵۶	۶۰
-	-	-	-	-	۸۰	۸۸	۸۴	۸۰	۸۴	۸۰	۸۴	۷۰
-	۱	-	-	-	۸۲	۷۵	۷۶	۷۷	۷۲	۷۷	۷۷	۸۰
-	-	-	-	-	۱۰۴	۱۰۶	۱۲۴	۱۰۰	۱۱۰	۱۰۰	۱۱۰	۹۰
-	-	-	-	-	۹۶	۹۵	۹۴	۹۴	۹۲	۹۴	۹۲	۱۰۰
-	-	-	-	-	۹۵	۹۴	۹۷	۹۷	۹۵	۹۵	۹۵	۱۱۰
-	-	-	-	-	۱۰۰	۱۰۱	۱۰۲	۱۰۲	۱۰۲	۱۰۲	۱۰۲	۱۲۰

جدول ۳: تناظر دو گراف برای ده اجرای مختلف توسط Krinsky-GI (K, N, n)

تعداد اجراهای همگرا نشده						متوجه تعداد تکرار الگوریتم						عمق اندازه گراف
۹	۷	۵	۳	۱	۹	۷	۵	۳	۱	۹	۷	
-	-	-	-	-	۶۷	۱۲۶	۶۳	۶۰	۷۲	۶۷	۶۳	۲۰
-	-	-	-	-	۲۵۲	۲۱۷	۱۴۹	۱۲۸	۲۸۸	۲۵۲	۱۴۹	۲۰
-	-	-	-	-	۱۰۱	۸۷	۷۱	۶۱	۴۵	۱۰۱	۸۷	۴۰
-	-	-	-	-	۷۱۶	۵۰۱	۵۳۷	۴۸۸	۳۸۳	۷۱۶	۵۰۱	۵۰
-	-	-	-	-	۱۳۲	۱۱۶	۹۲	۷۴	۵۳	۱۳۲	۱۱۶	۶۰
-	-	-	-	-	۵۸۱	۳۱۱	۱۶۸	۱۶۸	۴۲۶	۵۸۱	۳۱۱	۷۰
۱	۱	-	۱	۱	۲۸۶	۳۸۲	۴۴۶	۲۶۳	۳۰۲	۲۸۶	۳۸۲	۸۰
-	-	-	-	-	۲۳۰	۲۰۲	۱۶۳	۱۴۶	۱۰۵	۲۳۰	۲۰۲	۹۰
۱	-	-	-	-	۲۷۹	۲۵۴	۳۴۸	۱۰۹	۱۱۰	۲۷۹	۲۵۴	۱۰۰
-	-	-	-	-	۲۶۱	۲۲۵	۱۷۶	۱۳۹	۹۶	۲۶۱	۲۲۵	۱۱۰
-	-	-	-	-	۲۶۲	۲۲۰	۱۸۵	۱۴۸	۱۰۱	۲۶۲	۲۲۰	۱۲۰

جدول ۴: تناظر دو گراف برای ده اجرای مختلف توسط Krylov-GI (K, N, n)

تعداد اجراهای همگرا نشده						متوجه تعداد تکرار الگوریتم						عمق اندازه گراف
۹	۷	۵	۳	۱	۹	۷	۵	۳	۱	۹	۷	
-	۱	۴	۱	۲	۱۹۶	۱۷۲	۱۴۴	۱۹۴	۱۶۲	۱۹۶	۱۷۲	۲۰
-	-	-	-	-	۲۱۶	۲۰۰	۱۷۹	۲۷۹	۹۸	۲۱۶	۲۰۰	۳۰
-	-	۱	-	-	۲۱۹	۱۵۶	۴۰۸	۲۲۹	۲۷۰	۲۱۹	۱۵۶	۴۰
۲	۴	۱	-	۱	۱۲۸۷	۶۱۳	۶۱۰	۲۱۱	۵۷۵	۱۲۸۷	۶۱۳	۵۰
-	-	-	-	-	۱۷۷	۱۶۲	۱۲۶	۹۸	۸۴	۱۷۷	۱۶۲	۶۰
۳	۲	۲	-	۱	۸۲۶	۳۰۰	۵۱۰	۲۰۸	۴۴۲	۸۲۶	۳۰۰	۷۰
۱	-	-	-	-	۲۹۹	۲۶۹	۲۲۵	۱۴۸	۱۲۰	۲۹۹	۲۶۹	۸۰
-	-	-	-	-	۲۲۱	۱۸۸	۱۰۲	۱۲۴	۸۸	۲۲۱	۱۸۸	۹۰
-	۱	-	۱	-	۵۵۴	۵۹۹	۲۲۳	۴۳۹	۱۸۴	۵۵۴	۵۹۹	۱۰۰
-	-	۱	-	-	۲۱۵	۲۶۰	۲۶۴	۲۰۸	۱۹۸	۲۱۵	۲۶۰	۱۱۰
-	-	-	-	-	۲۵۶	۲۲۴	۱۹۲	۱۳۹	۹۸	۲۵۶	۲۲۴	۱۲۰

جداول ۵ متوسط تعداد تکرار و تعداد اجرای همگرا نشده و خطای خطا پس از همگرایی الگوریتم تناظر دو گراف با تصحیح خطای برای افتباش های مختلف را برای اوتوماتهای مختلف نشان میدهدند.

جدول ۵: تناظر دو گراف با تصحیح خطای برای افتباش، ۵٪ توسط (K,N,n)

تعداد اجرای همگرا نشده						متوسط تعداد تکرار الگوریتم						خطای پس از همگرایی	عمق اندازه گراف	
۹	۷	۵	۳	۱	۹	۷	۵	۳	۱	۹	۷	۵	۳	۱
.	۱۶۲	۱۲۷	۱۴۷	۹۳	۹۵	۱۹۲۶	۲۰			
.	۱۴۲	۲۲۰	۱۷۰	۱۸۱	۱۶۴	۴۲۱۶	۲۰			
.	۳۶۵	۱۴۶	۲۲۸	۱۳۴	۱۹۲	۷۷۲۰	۴۰			
.	.	.	۱	.	۶۱۶	۲۲۱	۱۵۷	۲۳۰	۲۹۱	۱۱۹۶۴	۵۰			
.	۲۱۷	۱۸۲	۱۶۴	۱۴۴	۱۱۸	۱۷۴۲۲	۶۰			
۲	۲	۴	۴	۴	۶۲۲	۱۰۸۴	۱۱۸۷	۷۷۷	۵۵۰	۲۴۰۰۸	۷۰			
.	۲۱۶	۱۹۰	۱۶۷	۱۴۴	۱۱۴	۲۱۲۶۲	۸۰			
.	۳۶۹	۲۲۹	۲۷۲	۲۲۵	۴۳۴	۳۹۲۲۴	۹۰			
.	۲۸۵	۲۴۴	۲۱۲	۱۷۶	۱۲۶	۴۹۲۱۸	۱۰۰			
.	۳۱۱	۲۷۳	۲۲۵	۱۹۲	۱۵۰	۵۸۷۱۰	۱۱۰			
.	۴۹۸	۲۳۰	۲۸۶	۲۴۶	۲۱۴	۷-۱۲۶	۱۲۰			

جدول ۶: تناظر دو گراف با تصحیح خطای برای افتباش، ۵٪ توسط (AMO-GI)

تعداد اجرای همگرا نشده						متوسط تعداد تکرار الگوریتم						خطای پس از همگرایی	عمق اندازه گراف	
۹	۷	۵	۳	۱	۹	۷	۵	۳	۱	۹	۷	۵	۳	۱
.	.	.	.	۲	۱۰۰	۱۵۱	۱۰۸	۹۴	۱۹۸	۱۸۵۴	۲۰			
.	۲۰۴	۳۳۹	۲۱۵	۴۱۷	۲۲۸	۴۲۵۲	۲۰			
.	۱	.	.	.	۲۰۹	۷۸۳	۵۶۶	۲۱۳	۳۷۳	۷۷۶۰	۴۰			
.	۱۰۸	۱۱۱	۲۷۴	۱۲۲	۱۰۹	۱۲۰۶۶	۵۰			
.	۱۰۷	۱۰۴	۱۰۲	۱۰۷	۱۰۵	۱۷۶۷۶	۶۰			
.	۲۲۱	۱۷۳	۱۴۹	۱۶۰	۱۴۲	۲۳۴۸۸	۷۰			
.	۱۲۲	۱۲۰	۱۲۱	۱۲۰	۱۲۱	۲۰۷۷۶	۸۰			
.	۱۶۹	۱۵۲	۱۵۷	۱۵۸	۱۵۴	۳۹۴۴۰	۹۰			
.	۱۶۶	۱۵۷	۱۶۸	۱۴۶	۱۴۹	۴۸۴۴۶	۱۰۰			
.	۱۶۴	۱۸۵	۱۸۵	۱۸۵	۱۷۲	۵۹۴-۲	۱۱۰			
.	۱۶۵	۱۶۵	۱۶۵	۱۶۴	۱۶۵	۷-۱۰۴	۱۲۰			

جدول ۷: تناظر دو گراف با تصحیح خطای برای افتباش، ۵٪ توسط (Krinsky-GI)

تعداد اجرای همگرا نشده						متوسط تعداد تکرار الگوریتم						خطای پس از همگرایی	عمق اندازه گراف	
۹	۷	۵	۳	۱	۹	۷	۵	۳	۱	۹	۷	۵	۳	۱
.	۹۶	۸۶	۸۲	۷۲	۶۲	۱۷۸۲	۲۰			
.	۲۸۰	۳۹۶	۲۲۷	۲۹۸	۲۲۹	۴۲۸۴	۲۰			
.	۱۵۹	۲۲۱	۱۲۲	۳۰۰	۱۰۲	۷۵۶۰	۴۰			
.	۱	.	.	۲	۸۶۴	۷۶۶	۸۲۷	۱۰۵۶	۹۶۶	۱۲۱۹۲	۵۰			
.	۲۲۰	۱۸۱	۱۸۰	۱۹۲۲	۱۲۸	۱۷۲۰۰	۶۰			
.	۲۰۹	۱۷۲	۱۴۶	۱۲۲	۱۰۸	۲۲۱۰۴	۷۰			
.	۱	.	.	۱	۲۹۷	۲۲۱	۲۲۰	۲۲۰	۱۷۳	۲۱۴۵۲	۸۰			
.	۳۰۷	۲۹۵	۲۲۴	۱۹۰	۱۴۷	۳۹۲۴۲	۹۰			
.	.	.	۲	.	۴۸۶	۲۱۴	۲۲۴	۲۶۶	۱۶۸	۴۹-۴۸	۱۰۰			
.	۲۸۹	۲۶۵	۲۲۷	۱۸۸	۱۴۷	۵۹۵۰۲	۱۱۰			
.	۲۱۰	۲۶۶	۲۲۹	۱۹۳	۱۴۷	۷۱-۱۶	۱۲۰			

جدول ۸: تناظر دو گراف با تصحیح خطاب برای اغتشاش ۵٪ توسط (Krylov-GI (K, N, n)

تعداد اجراهای همگرا نشده						متوسط تعداد تکرار الگوریتم						خطا پس از همگرای	عمق اندازه گراف	
۹	۷	۵	۳	۱	۹	۷	۵	۳	۱	۹	۷	۵	۳	۱
.	۱۲۸	۱۱۰	۱۱۳	۱۰۱	۷۶	۱۷۵۸	۲۰			
.	۵۴۳	۱۶۸	۲۰۹	۲۴۷	۲۴۹	۴۱۸۶	۲۰			
.	۱۴۵	۱۳۴	۱۲۲	۱۰۲	۸۶	۷۷۱۲	۴۰			
.	۳۱۴	۱۷۲	۲۶۷	۱۵۲	۱۰۵	۱۱۹۹۸	۵۰			
.	.	۲	.	۱	۴۸۷	۴۶۶	۲۱۹	۱۶۶	۱۲۲	۱۷۶۵۴	۶۰			
.	۱	.	۲	۱	۴۴۹	۲۵۲	۲۵۴	۲۴۵	۷۰۱	۲۲۶۷۰	۷۰			
.	۱	۱	۱	۱	۴۱۳	۲۲۲	۲۷۴	۲۹۶	۳۱۰	۳۱۴۱۸	۸۰			
۳	۲	۴	۱	۲	۴۷۵	۷۲۴	۴۱۸	۲۶۹	۱۱۵۷	۳۹۴۵۰	۹۰			
۳	۲	۵	۲	۱	۵۲۲	۴۹۴	۵۲۹	۶۱۱	۲۶۸	۴۸۷۲۸	۱۰۰			
.	.	۱	.	۱	۵۷۰	۳۷۲	۵۱۲	۲۷۴	۱۹۹	۵۸۸۹۴	۱۱۰			
.	۳۴۹	۲۹۴	۲۵۵	۲۱۵	۱۶۹	۷۰۲۱۲	۱۲۰			

جدول ۹: تناظر دو گراف با تصحیح خطاب برای اغتشاش ۱۰٪ توسط (Tsetline-GI (K, N, n)

تعداد اجراهای همگرا نشده						متوسط تعداد تکرار الگوریتم						خطا پس از همگرای	عمق اندازه گراف	
۹	۷	۵	۳	۱	۹	۷	۵	۳	۱	۹	۷	۵	۳	۱
۱	۲۱۵	۲۰۶	۲۲۰	۲۵۸	۱۵۲	۲۸۲۴	۲۰			
.	۱۴۴	۱۳۰	۱۰۵	۹۶	۸۶	۸۵۵۲	۳۰			
.	.	۱	.	.	۱۱۴۶	۱۰۹۸	۹۵۴	۹۱۲	۶۸۶	۱۵۴۱۶	۴۰			
.	۱۹۷	۱۶۹	۱۵۳	۲۱۸	۱۴۵	۲۴۱۲۲	۵۰			
۵	۴	۳	۶	۲	۱۴۶۹	۲۵۹۲	۱۰۵۲	۱۶۰۰	۱۷۶۸	۲۴۲۷۸	۶۰			
.	۲۶۲	۲۲۴	۱۸۲	۱۵۹	۱۳۲	۴۷۵۷۰	۷۰			
.	۲۶۴	۲۱۷	۱۹۲	۱۶۴	۱۳۲	۶۲۲۹۸	۸۰			
.	۲۹۸	۲۸۶	۲۲۴	۲۲۰	۱۶۷	۷۸۲۰۰	۹۰			
.	.	.	.	۱	۲۶۷	۲۴۲	۲۶۷	۲۱۲	۲۱۰	۹۷۳۸۸	۱۰۰			
.	۳۶۲	۲۲۲	۲۷۱	۲۲۷	۱۹۲	۱۱۷۷۷۷۸	۱۱۰			
.	۲۴۸	۲۲۷	۲۷۳	۲۲۰	۱۷۶	۱۳۹۸۲۸	۱۲۰			

جدول ۱۰: تناظر دو گراف با تصحیح خطاب برای اغتشاش ۱۰٪ توسط (AMO -GI (K, N, n)

تعداد اجراهای همگرا نشده						متوسط تعداد تکرار الگوریتم						خطا پس از همگرای	عمق اندازه گراف	
۹	۷	۵	۳	۱	۹	۷	۵	۳	۱	۹	۷	۵	۳	۱
.	۱۹۴	۱۹۲	۱۸۱	۱۶۶	۹۲	۳۷۹۲	۲۰			
.	۱۲۶	۱۲۸	۱۰۵	۱۴۲	۱۰۶	۸۸۴۰	۳۰			
.	۳۹۲	۳۷۶	۳۹۲	۸۶۲	۸۰۳	۱۴۹۹۸	۴۰			
۱	۱	۱	۴	۱	۶۹۴	۶۸۵	۹۹۲	۱۰۳۳	۱۱۷۱	۲۲۹۶۲	۵۰			
۲	.	۱	۱	۲	۹۴۳	۴۲۶	۷۴۹	۸۲۲	۵۰۲	۲۴۵۷۰	۶۰			
.	.	.	.	۱	۱۴۹	۱۴۶	۱۳۶	۱۵۹	۱۵۰	۴۷۲۲۴	۷۰			
.	۱۵۰	۱۲۸	۱۳۱	۱۲۲	۱۲۸	۶۲۲۳۸	۸۰			
۱	.	۱	-	۲	۳۵۹	۴۴۴	۲۱۴	۵۸۳	۶۵۱	۷۸۱۹۶	۹۰			
.	۱۳۹	۱۲۶	۱۳۷	۱۳۷	۱۳۷	۹۶۸۵۴	۱۰۰			
.	۱	.	.	.	۲۵۷	۱۹۹	۲۶۲	۲۸۸	۲۹۲	۱۱۷۱۷۸	۱۱۰			
.	۱۷۷	۱۷۸	۱۷۸	۱۸۲	۱۸۲	۱۴۰-۰۴۹	۱۲۰			

جدول ۱۱: تناظر دو گراف با تصحیح خطاب برای اغتشاش ۱۰٪ توسط Krinsky-GI (K, N, n)

تعداد اجرهای همگرا نشده						متوسط تعداد تکرار الگوریتم						عمق اندازه گراف همگرایی	خطا پس از همگرایی	
۹	۷	۵	۳	۱	۹	۷	۵	۳	۱	۹	۷	۵	۳	۱
.	۱	۰	۰	۰	۲۲۵	۱۱۱	۱۶۸	۲۰۱	۱۴۲	۲۶۷	۲۶۷	۲۰		
.	۰	۰	۰	۰	۴۴۴	۴۵۷	۵۱۰	۳۲۴	۴۸۴	۸۷۶۲	۸۷۶۲	۲۰		
.	۰	۰	۰	۰	۱۹۴	۱۶۴	۵۵۲	۲۱۲	۱۵۶	۱۴۸۵۶	۱۴۸۵۶	۲۰		
.	۰	۰	۰	۰	۲۰۵	۱۸۱	۱۶۷	۱۴۷	۶۶۸	۲۴۲۴	۲۴۲۴	۵۰		
۱	۱	۰	۱	۰	۸۸۹	۱۱۰	۶۱۸	۱۲۱۴	۱۹۹	۲۷۲۱۸	۲۷۲۱۸	۶۰		
.	۰	۱	۰	۰	۹۱۰	۲۰۷	۲۱۹	۲۲۴	۲۴۶	۴۸۰۱۴	۴۸۰۱۴	۷۰		
.	۰	۰	۰	۰	۲۸۸	۲۲۰	۲۱۳	۱۸۵	۱۵۲	۶۲۹۷۸	۶۲۹۷۸	۸۰		
۱	۰	۰	۰	۱	۵۲۹	۶۰۵	۶۳۶	۲۰۵	۵۵۸	۷۸۰۹۴	۷۸۰۹۴	۹۰		
.	۰	۰	۰	۰	۳۲۶	۲۹۵	۶۰۳	۲۲۶	۱۷۱	۹۶۹۷۰	۹۶۹۷۰	۱۰۰		
.	۰	۰	۰	۰	۳۷۶	۴۰۲	۲۸۶	۲۴۳	۱۹۶	۱۱۷۲۶	۱۱۷۲۶	۱۱۰		
.	۰	۰	۰	۰	۳۵۲	۳۰۰	۲۵۸	۲۰۵	۱۸۷	۱۳۸۹۵	۱۳۸۹۵	۱۲۰		

جدول ۱۲: تناظر دو گراف با تصحیح خطاب برای اغتشاش ۱۰٪ توسط Krylov-GI (K, N, n)

تعداد اجرهای همگرا نشده						متوسط تعداد تکرار الگوریتم						عمق اندازه گراف همگرایی		
۹	۷	۵	۳	۱	۹	۷	۵	۳	۱	۹	۷	۵	۳	۱
.	۰	۲	۰	۱	۷۰۸	۱۰۹	۲۶۸	۱۸۱	۱۸۵	۲۸۱	۲۸۱	۲۰		
.	۰	۰	۰	۰	۳۷۰	۱۷۵	۲۵۴	۲۵۲	۱۵۸	۸۵۸	۸۵۸	۲۰		
.	۰	۰	۰	۰	۶۲۶	۶۲۴	۳۷۳	۷۹۵	۵۰۸	۱۵۶۰۲	۱۵۶۰۲	۴۰		
۲	۰	۰	۱	۱	۱۱۹۲	۷۳۵	۶۰۶	۱۴۷۸	۹۳۸	۲۲۵۶۸	۲۲۵۶۸	۵۰		
۱	۱	۲	۰	۰	۱۴۴۳	۵۵۲	۲۵۵	۲۱۱	۲۸۶	۲۲۱۵۶	۲۲۱۵۶	۶۰		
.	۰	۰	۰	۰	۲۰۶	۱۸۵	۱۶۱	۱۳۶	۱۱۱	۷۷۲۴۴	۷۷۲۴۴	۷۰		
.	۰	۰	۰	۰	۲۶۰	۲۶۲	۲۰۳	۱۸۶	۱۶۱	۶۱۶۰۲	۶۱۶۰۲	۸۰		
.	۰	۰	۰	۰	۲۸۶	۲۴۱	۲۰۸	۱۷۱	۱۴۰	۷۷۹۱۸	۷۷۹۱۸	۹۰		
۲	۰	۲	۰	۲	۵۴۶	۴۵۲	۷۶۰	۷۶۹	۳۹۱	۹۷۲۶۶	۹۷۲۶۶	۱۰۰		
.	۰	۰	۰	۰	۳۲۰	۲۸۸	۲۶۹	۲۱۶	۱۷۷	۱۱۵۸۷	۱۱۵۸۷	۱۱۰		
.	۰	۰	۰	۰	۳۲۲	۳۱۰	۲۵۱	۲۰۹	۱۶۱	۳۴۲۹	۳۴۲۹	۱۲۰		

جدول ۱۳: تناظر دو گراف با تصحیح خطاب برای اغتشاش ۱۵٪ توسط Tsetline-GI (K, N, n)

تعداد اجرهای همگرا نشده						متوسط تعداد تکرار الگوریتم						عمق اندازه گراف همگرایی		
۹	۷	۵	۳	۱	۹	۷	۵	۳	۱	۹	۷	۵	۳	۱
.	۰	۰	۰	۰	۱۴۲	۱۲۲	۱۸۰	۲۴۲	۱۵۲	۵۵۲۶	۵۵۲۶	۲۰		
.	۰	۰	۰	۰	۴۰۲	۲۸۳	۴۳۹	۵۵۹	۲۴۷	۱۲۷۵۴	۱۲۷۵۴	۲۰		
.	۰	۰	۰	۰	۷۲۸	۸۲۸	۲۴۲	۵۴۱	۸۶۱	۲۲۶۹۶	۲۲۶۹۶	۴۰		
.	۰	۰	۰	۰	۱۱۳	۱۰۴	۱۰۵	۱۰۶	۱۰۹	۳۵۹۰۶	۳۵۹۰۶	۵۰		
.	۰	۰	۱	۰	۵۹۳	۱۹۴	۱۲۹	۱۰۷۰	۲۲۸	۵۱۱۰۶	۵۱۱۰۶	۶۰		
.	۰	۰	۰	۰	۴۵۲	۱۹۲	۱۶۸	۱۵۰	۱۴۳	۶۹۵۱	۶۹۵۱	۷۰		
۲	۲	۲	۲	۱	۷۸۹	۸۹۹	۲۲۱	۲۷۷	۴۸۱	۹۱۸۶۸	۹۱۸۶۸	۸۰		
.	۰	۰	۰	۰	۱۲۸	۱۰۲	۱۴۷	۱۴۶	۱۴۶	۱۱۵۹۲۶	۱۱۵۹۲۶	۹۰		
.	۰	۰	۰	۰	۲۲۴	۱۹۳	۲۶۱	۱۹۰	۲۲۷	۱۴۴۹۸	۱۴۴۹۸	۱۰۰		
.	۱	۱	۰	۱	۳۱۶	۳۲۳	۳۵۷	۳۹۱	۳۶۲	۱۷۴۳۷	۱۷۴۳۷	۱۱۰		
.	۰	۰	۰	۰	۱۹۲	۲۹۳	۱۹۲	۱۹۶	۱۹۶	۲۹۲۶۲	۲۹۲۶۲	۱۲۰		

جدول ۱۴: تناظر دو گراف با تصحیح خطای برای افتشار ۱۵٪ توسط AMO-GI (K, N, n)

تعداد اجرهای همگرا نشده						متوسط تعداد تکرار الگوریتم						عمق اندازه گراف	خطای پس از همگرایی
۹	۷	۵	۳	۲	۱	۹	۷	۵	۳	۲	۱		
.	۱۴۳	۱۲۲	۱۸۰	۲۴۲	۱۵۳	۵۵۲۶	۲۰	
.	۴۰۳	۲۸۳	۴۳۹	۵۵۹	۲۴۷	۱۲۷۵۴	۲۰	
.	۷۲۸	۸۲۸	۲۴۲	۵۴۱	۸۶۱	۲۲۶۹۶	۴۰	
۱۱	۱۱۳	۱۰۴	۱۰۵	۱۰۶	۱۰۹	۳۵۹۰۶	۵۰	
۱	.	۱	.	.	۱	۵۹۳	۱۹۶	۱۲۹	۱۰۷۰	۲۲۸	۵۱۱۰۶	۶۰	
.	۴۵۳	۱۹۲	۱۸۸	۱۵۰	۱۴۳	۶۹۵۱۰	۷۰	
۲	۲	۲	۲	۱	۱	۷۸۹	۸۹۸	۳۲۱	۲۷۷	۴۸۱	۹۱۸۶۸	۸۰	
.	۱۲۸	۱۵۲	۱۴۷	۱۴۶	۱۴۹	۱۱۸۹۲۶	۹۰	
.	۲۲۴	۱۹۲	۲۶۱	۱۹۰	۲۲۷	۱۴۴۴۸۰	۱۰۰	
.	۱	۱	.	.	۱	۳۱۶	۲۲۲	۳۵۷	۳۵۱	۳۶۲	۱۷۴۲۷۰	۱۱۰	
.	۱۹۲	۲۱۲	۱۹۲	۱۹۶	۱۹۶	۲۰۹۲۶۲	۱۲۰	

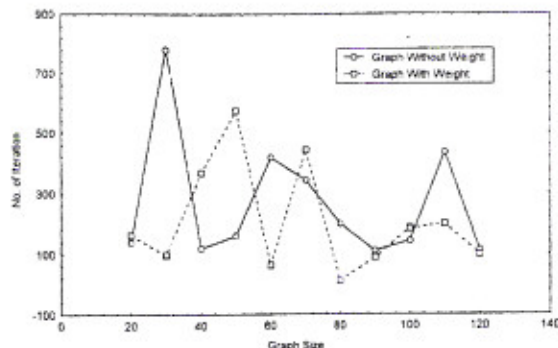
جدول ۱۵: تناظر دو گراف با تصحیح خطای برای افتشار ۱۵٪ توسط Krinsky-GI (K,N,n)

تعداد اجرهای همگرا نشده						متوسط تعداد تکرار الگوریتم						عمق اندازه گراف	خطای پس از همگرایی
۹	۷	۵	۳	۲	۱	۹	۷	۵	۳	۲	۱		
.	۱۸۶	۱۰۹	۲۴۵	۱۶۶	۱۲۱	۵۴۶۶	۲۰	
.	۲۷۵	۱۲۱	۱۱۵	۱۱۶	۹۰	۱۲۴۱۰	۳۰	
.	۱۰۲۲	۸۶۱	۲۲۰	۹۶۲	۴۸۷	۲۲۳۰۸	۴۰	
.	.	۱	.	.	۱	۱۰۵۲	۱۹۱۴	۱۲۱۸	۱۷۲۴	۲۰۹۱	۳۵۸۱۲	۵۰	
.	۲۰۶	۱۹۱	۱۶۲	۱۴۲	۱۲۲	۵۱۶۵۸	۶۰	
۳	۲	۲	۶	۴	۲	۹۷۶	۱۱۵۲	۱۷۲۸	۱۵۵۴	۹۰۰	۷۰۰۳۰	۷۰	
۱	۲	۲	۴	۴	۲	۴۳۲	۱۱۴۶	۶۰۶	۲۶۳	۸۲۸	۹۱۵۵۶	۸۰	
.	۳۱۴	۲۹۶	۲۹۱	۲۲۶	۲۴۱	۱۱۵۰۲۲	۹۰	
۶	۲	۴	۰	۲	۲	۶۱۶	۵۳۸	۸۴۳	۴۴۲	۵۰۷	۱۴۴۷۱۰	۱۰۰	
۴	۴	۴	۴	۴	۴	۶۸۷	۵۳۰	۴۲۱	۲۲۸	۱۰۹۴	۱۷۴۷۲۴	۱۱۰	
.	.	.	۱	.	.	۴۲۵	۶۴۶	۲۷۸	۲۹۷	۲۶۰	۲۰۸۲۶۶	۱۲۰	

جدول ۱۶: تناظر دو گراف با تصحیح خطای برای افتشار ۱۵٪ توسط Krylov-GI (K, N, n)

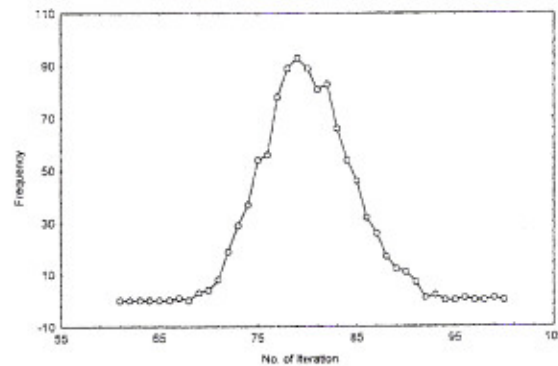
تعداد اجرهای همگرا نشده						متوسط تعداد تکرار الگوریتم						عمق اندازه گراف	خطای پس از همگرایی
۹	۷	۵	۳	۲	۱	۹	۷	۵	۳	۲	۱		
.	۱۰۱	۹۳	۸۲	۷۲	۶۶	۵۵۱۴	۲۰	
.	۲۰۹	۸۱۸	۳۸۶	۳۶۶	۶۴۲	۱۲۶۳۴	۳۰	
.	۸۶۰	۳۹۹	۷۲۱	۹۰۶	۸۲۵	۲۲۲۳۰	۴۰	
.	۴۴۶	۳۰۳	۵۹۰	۱۰۰۳	۵۷۶	۳۵۴۶۸	۵۰	
۱	۲	۲	۱	.	۱	۷۲۱	۲۲۵	۸۰۵	۲۸۵	۵۲۹	۵۱۸۱۲	۶۰	
.	۲	۱	۲	۲	۲	۶۰۴	۵۰۸	۴۶۱	۶۷۱	۲۶۶	۶۹۷۹۶	۷۰	
.	۱	۲	۱	۱	۱	۲۷۹	۲۸۲	۲۰۲	۸۶۵	۲۱۲	۹۲۲۵۲	۸۰	
۴	۵	۲	۶	۳	۲	۱۰۷۶	۲۷۷۷	۱۸۲۹	۱۲۰۹	۴۱۸	۱۱۶۰۲۰	۹۰	
.	۳۰۰	۲۶۰	۲۲۶	۱۹۲	۱۵۴	۱۴۴۷۰۲	۱۰۰	
.	۳۱۱	۲۷۶	۲۲۸	۱۹۱	۱۰۵	۱۷۴۶۸۶	۱۱۰	
.	۳۹۵	۲۲۹	۲۸۶	۲۲۲	۱۹۱	۲۰۸۰۲۶	۱۲۰	

در شکل ۱۴ متوسط تعداد تکرار حلقه repeat-until در الگوریتم Krylov-GI (K, 1, n) برای گراف های با وزن و بدون وزن نشان داده شده است.



شکل ۱۴: متوسط تعداد تکرار حلقه repeat-until در الگوریتم Krylov-GI (K, 1, n) برای گراف های با وزن و بدون وزن

تذکر ۱: تعداد تکرارهای حلقه repeat-until در الگوریتم های فوق دارای توزیع شکل زیر می باشد. شکل زیر توزیع تعداد تکرارهای حلقه repeat-until را برای الگوریتم Tsetline-GI (80, 2, 80) را نشان میدهد. با استفاده از چنین توزیعی می توان احتمال اینکه الگوریتم مورد نظر در تعداد مشخصی تکرار همگرا شود را پیدا نمود.



شکل ۱۵: توزیع تعداد تکرارهای حلقه repeat-until برای الگوریتم Tsetline-GI (80, 2, 80)

تذکر ۲: در صورتیکه گراف، یک گراف بدون وزن باشد، الگوریتم های فوق را میتوان افزایش مرتبه پیجیدگی برای تضاظر گراف استفاده نمود. الگوریتم Krylov-GI (K, 1, n) برای گراف های بدون وزن از مرتبه شده و مقدار متوسط تکرار حلقه repeat-until و تعداد اجرهایی که همگرا نشده اند در جدول ۱۶ آورده شده است. همانطور که دیده میشود تعداد تکرارهای لازم در مقایسه با گراف های با وزن بیشتر میباشد. احتمالاً این بدان علت است که وزنهای کمانها یکسان میباشند (وزن هر کدام از کمانها یک میباشد) و الگوریتم برای پیدا کردن تضاظر گراف به فرستت پیشتری نیاز دارد.

جدول ۱۶: متوسط تعداد تکرارهای repeat-until در الگوریتم Krylov-GI (K, 1, n) برای تضاظر دو گراف بدون وزن برای ده اجرای مختلف

اندازه گراف	تعداد اجرهای همگرا repeat-until	تعداد تکرار حلقه ۲۰۰۰ نشده در تکرار
۲۰	۱۴۰	۴
۳۰	۷۸۰	۲
۴۰	۱۲۰	۰
۵۰	۱۶۰	۲
۶۰	۴۱۸	۵
۷۰	۲۴۴	۵
۸۰	۱۹۹	۰
۹۰	۱۱۰	۰
۱۰۰	۱۴۳	۱
۱۱۰	۴۲۵	۲
۱۲۰	۱۱۲	۲

۶- مراجع

- [1] Abadir, M.S. and Ferguson, J., "An Improved Layout Verification Algorithm", Proc. of IEEE European Int. Conf. on Design and Automation, pp. 391-395, 1990.
- [2] Agusa, K., Fujita, S., Yamashita, M., and Ae, T., "On Neural Networks for Graph Isomorphism Problem", Proc. of RNNNS/IEEE Int. Symposium on Neuroinformatics and Neurocomputers, pp. 1142-1148, 1992.
- [3] Cinque, L., Yasuda, D., Shapiro, L. G., Tanimoto, S., and Allen, B., "An Improved Algorithm for Relational Distance Graph Matching", Pattern Recognition, Vol. 29, No. 2, pp. 349-359, 1996.

- [17] Petrank, E. and Roth, R.M., "Is Code Equivalence easy to decide", IEEE Trans. on Information Theory, Vol. 43, No. 5, pp. 1602-1604, 1997.
- [18] Schalkoff, R. J., Pattern Recognition: Statistical, Structural and Neural Approaches, John Wiley, New York, 1992.
- [19] Thathachar, M. A. L. and Sastry, P. S., Learning Optimal Discriminant Functions Through a Cooperative Game of Automata, IEEE Trans. Syst., Man and Cybern., Vol. SMC-27, pp.73-85, 1987.
- [20] Wang, Y., Fan, K., and Horng, J., "Genetic-Based Search for Error-Correcting Graph Isomorphism", IEEE Trans. on Systems, Man, and Cybernetics-PartB: Cybernetics, Vol. 27, No. 4, pp. 588-597, 1997.
- [21] Wilson, R. C. and Hancock, E. R., "Structural Matching by Discrete Relaxation", IEEE Trans. on Pattern Analysis and Machine Vision, Vol. 19, No. 6, pp. 634-648, 1997.
- [22] Beigy, H. and Meybodi, M. R., "Randomized Las Vegas Algorithms for Graph Isomorphism", Proc. of ICEE-99, Vol. 3, pp. 1-8, Tehran, Iran , 1999.
- [23] Beigy, H. and Meybodi, M. R. , "Optimization of Topology of neural Networks Using Learning Automata", Proc. of 3th Annual Int. Computer Society of Iran Computer Conf. CSICC-98, Tehran, Iran, pp. 417-428, 1999.
- [4] Depiero, F. Trived, M., and Serbin, S., "Graph Matching Using Direct Classification of Node Attendance", Pattern Recognition, Vol. 29, No. 6, pp. 1031-1048, 1996.
- [5] Hashim, A. A., Amir, S., and Mars, p. , "Application of Learning Automata to Data Compression", In Adaptive and Learning Systems, K. S. Narendra (Ed.), New York: Plenum Press, pp. 229-234, 1986.
- [6] Huang, K.-T. and Overhauser, D., "A Novel Graph Algorithm for Circuit Recognition", Proc. of IEEE Int. Symposium on Circuits and Systems, pp. 1695-1698, 1995.
- [7] Kremer, M. and Dhawan, A. P., "Application of Genetic Algorithms in Graph Matching", Proc. of IEEE Int. Conf. on Conference on Neural Networks (ICNN'94), pp. 3872-3876, 1994.
- [8] Mars, P., Chen, J. R., and Nambiar, R. , Learning Algorithms: Theory and Application in Signal Processing, Control, and Communications, CRC press, New York, 1996.
- [9] Mars. P. and Narendra. K. S., and Chrystall, M. , "Learning Automata Control of Computer Communication Networks", Proc. of Third Yale Workshop on Applications of Adaptive Systems Theory, Yale University, 1983.
- [10] Maurer, P.M. and Schapira, A.D., "A Logic-To-Logic Comparator for VLSAI Layout Verification", IEEE Trans. on Computer-Aided Design of Integrated Circuits and Systems, Vol. 7, No. 8, pp. 897-907, 1988.
- [11] Meybodi, M. R. and Beigy, H. , "New Class of Learning Automata Based Scheme for Adaptation of Backpropagation Algorithm Parameters", Proc. of EUFIT-98 , Sep. 7-10, Achen, Germany, pp. 339-344, 1998.
- [12] Meybodi. M. R. and Lakshminarhan, S. , "A Learning Approach to Priority Assignment in a Two Class M/M/1 Queuing System with Unknown Parameters". Proc. of Third Yale Workshop on Applications of Adaptive Systems Theory, Yale University, pp. 106-109, 1983.
- [13] Narendra, K. S. and Thathachar, M. A. L. , Learning Automata : An Introduction, Prentice-hall, Englewood cliffs, 1989.
- [14] Oommen, B. J. and Ma, D. C. Y. , "Deterministic Learning Automata Solutions to the Equipartitioning Problem" , IEEE Trans. on Computers, No. 37, No. 1, pp. 2-13, 1988.
- [15] Oommen, B. J., Vallveti, R. S., and Zgierski, J. R. , "An Adaptive Learning Solution to the Keyboard Optimization Problem", IEEE Trans. on Systems, Man, and Cybernetics, Vol. 21, No. 6. pp. 1608-1618, 1991.
- [16] Oommen, B. J. and Croix, E. V. de St. , "Graph Partitioning Using Learning Automata", IEEE Trans. on Computers, No. 45, No. 2, pp. 195-208, 1996.